

ЭКСПЕРИМЕНТАЛЬНЫЕ  
СТАТЬИ

УДК 581.132

ВЛИЯНИЕ НАНОЧАСТИЦ СЕРЕБРА НА ПАРАМЕТРЫ  
ФЛУОРЕСЦЕНЦИИ ХЛОРОФИЛА И РЕАКЦИИ Р<sub>700</sub>  
ЗЕЛЕНОЙ ВОДОРОСЛИ *CHLAMYDOMONAS REINHARDTII*

© 2014 г. Д. Н. Маторин<sup>\*1</sup>, Д. А. Тодоренко\*, Н. Х. Сейфуллина\*, Б. К. Заидан\*\*, А. Б. Рубин\*

\*Московский государственный университет им. М. В. Ломоносова, биологический факультет

\*\*КазНУ им. аль-Фараби, г. Алматы, Казахстан

Поступила в редакцию 18.06.2013 г.

На флуориметре M-PEA2 проведены исследования острой токсичности наночастиц серебра (AgНЧ) на фотосинтез *Chlamydomonas reinhardtii*. Анализ индукционных кривых флуоресценции в присутствии низких концентраций AgНЧ показал ингибирование электронного транспорта в ФС2 и увеличение доли Q<sub>v</sub> – невосстанавливющих центров. Обнаружено влияние на процессы энергетизации фотосинтетических мембран и отсутствие прямого действия на реакции окисления пигмента ФС1 – Р700. Предлагается использовать параметры индукционных кривых быстрой и замедленной флуоресценции для раннего обнаружения появления AgНЧ в среде.

**Ключевые слова:** *Chlamydomonas reinhardtii*, наночастицы серебра, флуоресценция хлорофилла, фотосинтез, экология.

**DOI:** 10.7868/S0026365614010108

В настоящее время при изготовлении различных товаров все шире используют серебросодержащие материалы, в том числе и металлические наночастицы серебра (AgНЧ). К таким продуктам производства относятся: ткани, воздушные фильтры, косметические средства, зубные пасты, товары для детей, пылесосы и стиральные машины [1]. Появилось большое количество серебросодержащих медицинских препаратов, которые обладают антимикробными свойствами благодаря наличию в них ионов серебра [2].

В течение длительного времени считалось однозначно доказанным, что лечебными свойствами обладают ионы Ag<sup>+</sup>, а не металлическое серебро. Тем не менее, вопрос о механизме действия наночастиц серебра на различные биообъекты до настоящего времени остается окончательно не выясненным и требует дополнительных исследований [2]. Токсичность ионов серебра для водорослей изучена в ряде работ [5, 6]. Токсичное действие AgНЧ на пресноводные водоросли *Chlamydomonas reinhardtii* показано в работе [7, 8]. Обнаружено, что AgНЧ способны ингибировать фотосинтез у

природного фитопланктона, который является основой биопродуктивности водоемов [4].

Существует высокая вероятность того, что AgНЧ могут попасть в водные экосистемы и стать источником растворенного серебра, что, возможно, окажет токсическое действие на водные организмы [3, 4].

В токсикологических опытах на микроводорослях используются флуоресцентные методы, поскольку они являются наиболее удобным методом, который позволяет следить за процессами фотосинтеза, и дают подробную информацию о начальных нарушениях клеточного метаболизма в основном на мембранным уровне [4, 9, 10]. Кроме того, такие методы позволяют получить информацию о состоянии природного фитопланктона в режиме реального времени. Хлорофилл, находящийся в фотосинтетических мембранах водорослей, служит своего рода природным датчиком фотосинтетической активности клеток за счет испускания квантов флуоресценции. Измерение соотношения интенсивности флуоресценции при насыщающем фотосинтез свете ( $F_m$ ) и в условиях, не вызывающих изменений состояния фотосинтетического аппарата ( $F_0$ ) (низкая интенсивность света), позволяет определить максимальную эффективность процессов фотосистемы 2 (ФС2), которая равна  $(F_m - F_0)/F_m = F_v/F_m$ . Параметр  $F_v/F_m$  представляет собой безразмерную энергетическую

<sup>1</sup> Автор для корреспонденции (e-mail: matorin@biophys.msu.ru). Сокращения: наночастицы серебра – AgНЧ; ФС2 – фотосистема 2, РЦ – реакционный центр, Q<sub>A</sub> – первичный, Q<sub>v</sub> – вторичный хинонные акцепторы электрона, РQ – пластихион, О, J, I, P – промежуточные стадии в светоиндуцированной кривой флуоресценции; ЗФ – замедленная флуоресценция; Р700 – пигмент РЦ ФС1.

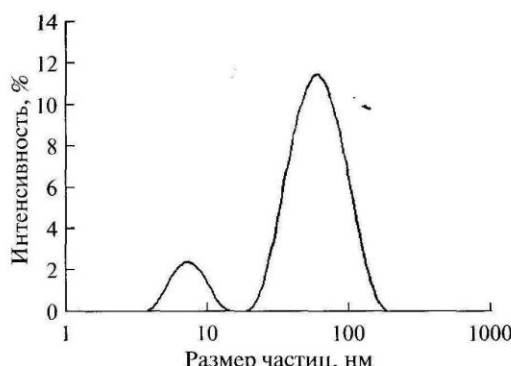


Рис. 1. Гистограмма размера наночастиц серебра, измеренная на приборе Zetasizer Nano ZS.

характеристику фотосинтеза, аналогичную коэффициенту полезного действия и не зависящую от видовой специфики организма.

В последнее время для оценки работы фотосинтетического аппарата высших растений и культур водорослей, начинают использовать методы измерения индукционных кривых флуоресценции с высоким временным разрешением (от 10 мкс) при возбуждении интенсивном свете [11–15]. Измерение индукционных кривых флуоресценции с высоким разрешением занимает всего несколько секунд и проводится на приборах типа РАМ и РЕА. На приборе М-РЕА2 появилась возможность наряду с регистрацией флуоресценции измерять изменения поглощения  $P_{700}$  (пигмента ФС1). То есть прибор позволяет одновременно следить за отдельными реакциями ФС1 и ФС2 [11, 12]. Более того, прибор регистрирует индукционные изменения замедленной флуоресценции, которые дают информацию о кинетике электрохимического градиента протонов на фотосинтетической мембране [4].

В настоящей работе на флуориметре М-РЕА2 проведены исследования процессов ФС1 и ФС2 и электрохимического градиента протонов на тилакоидной мембране водоросли *Chlamydomonas reinhardtii* после воздействия на них наночастиц серебра в концентрациях, вызывающих незначительные изменения величины отношения  $F_v/F_m$ .

Целью данной работы явилось изучение возможности применения анализа быстрых кинетик флуоресценции хлорофилла для оценки состояния фотосинтетического аппарата водорослей на ранних стадиях токсического воздействия наночастиц серебра.

## МАТЕРИАЛЫ И МЕТОДЫ ИССЛЕДОВАНИЯ

В качестве объекта исследования были выбраны зеленые водоросли *Chlamydomonas reinhardtii* Dang cl37+, выращиваемые фототрофно на трис-ацетат-фосфатной среде. Культивирование проводили накопительным методом при освещении 30 мкЕ/м<sup>2</sup> и температуре (18–20°C). Начальная плотность культуры составила 300 тыс. кл./мл. В опытах использовали культуры стационарной фазы роста. Численность клеток водорослей была определена микроскопическим методом подсчета клеток с помощью камеры Горяева.

Измерения флуоресцентных показателей водорослей проводили на приборе М-РЕА2 ("NanooTech", Англия), который позволяет проводить одновременно регистрацию индукций быстрой и замедленной флуоресценции, а также изменений  $P_{700}$  по поглощению при длине 820 нм с высоким временным разрешением (начиная с 0.01 мс). Регистрация быстрой и замедленной флуоресценции производится при чередовании актиничного света (627 нм, 1200 мкЕ/м<sup>2</sup>с) и темновых интервалов. Перед измерением образцы водорослей концентрировали на мембранным фильтре, затем отфильтрованный образец помещали в измерительную ячейку и выдерживали в темноте перед регистрацией в течение 10 мин. Измерения величины  $F_v/F_m$  непосредственно в культуре водорослей проводили на флуориметре Aqua-Pen ("Photon Systems Instruments", Чехия).

В опытах использовали препарат наночастиц серебра ("Sigma-Aldrich"). Размер частиц определяли в составе очищенной водной суспензии с помощью динамического рассеяния света на приборе Zetasizer Nano ZS ("Malvern", Великобритания). Для сравнения был использован химический препарат нитрата серебра ( $\text{AgNO}_3$ ).

Все измерения проводили не менее чем в пяти повторностях. На представленных рисунках приведены результаты опытов, повторяющиеся не менее трех раз.

## РЕЗУЛЬТАТЫ

На рис. 1 представлена гистограмма размера наночастиц серебра. Размер частиц определялся методом динамического светорассеяния. В 10% водном растворе у основной группы частиц средний размер составил около  $80 \pm 13$  нм.

Проведенные флуоресцентные исследования на культуре *C. reinhardtii* подтвердили, что фотосинтетический аппарат водорослей является чувствительной мишенью для наночастиц серебра. После суточной инкубации водорослей с наночастицами серебра в концентрации  $2 \times 10^{-6}$  М активность ФС2 снижалась. В концентрации

Параметры ОЛР-кинетики индукции флуоресценции, измеренной на клетках *Clamydomonas reinhardtii* после 24 ч инкубации с AgNP в разных концентрациях. Измерения кинетики индукции флуоресценции проводились на приборе M-PEA2 при освещении действующим светом с интенсивностью 1000 мкE/m<sup>2</sup> с

	Параметры JIP-теста	Контроль	AgNP 2 × 10 <sup>-6</sup> М	AgNP 2 × 10 <sup>-5</sup> М
$F_v/F_m$	Максимальный квантовый выход разделения зарядов в ФС2	0.71	0.69	0.66
$A_{OJ}$	Относительная амплитуда O–J фазы	0.39	0.41	0.43
$A_{JI}$	Относительная амплитуда J–I фазы	0.67	0.68	0.68
$M_O$	Начальный наклон фазы O–J роста флуоресценции	0.86	0.90	0.93
$S_M$	Площадь между кинетической кривой флуоресценции (O–J–I–P) и уровнем $F_m$ , нормированная на величину $F_v$	19.11	19.78	20.9
$\Delta BS/RC$	Среднее значение поглощенных потоков фотонов в РЦ ФС2 (или видимый размер активной антенны ФС2)	3.12	3.17	3.29
$q_E$	Способность к pH-индуцированному нефотохимическому тушению флуоресценции	0.41	0.40	0.32
$q_{PQ}$	Способность пула хинонов тушить флуоресценцию	0.33	0.32	0.32

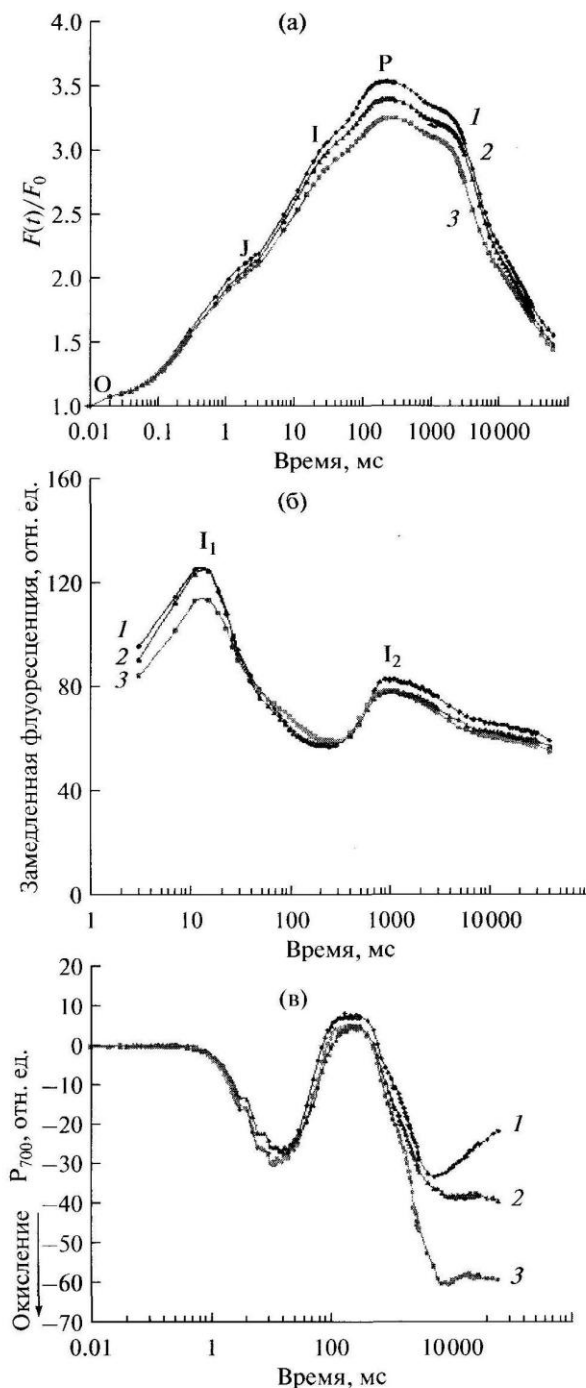
$2 \times 10^{-5}$  М AgНЧ вызывали уменьшение величины  $F_v/F_m$  с 0.71 до 0.66 (таблица). Было отмечено, что и азотистое серебро вызывало изменение  $F_v/F_m$  до 0.64 при таких же концентрациях ( $10^{-5}$  М).

Для более детального выяснения влияния AgНЧ на фотосинтетическую активность клеток водорослей на приборе M-PEA2 измеряли параметры быстрой и замедленной флуоресценции, а также  $P_{700}$  (рис. 2). Выполнение таких исследований важно не только для понимания первичных механизмов воздействия AgНЧ на работу ФС2 и ФС1 и на процессы энергизации фотосинтетических мембран, но и для возможного использования различных параметров флуоресценции в биомониторинге для выяснения токсикологического действия наночастиц серебра в водных системах.

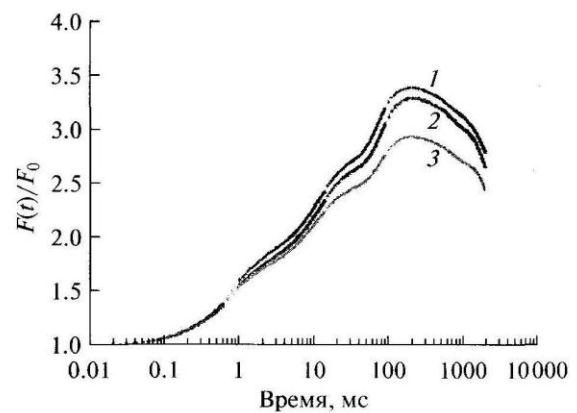
На рис. 2, представлены кинетические кривые индукции флуоресценции после включения света, нормированные по уровню О. В контрольных клетках форма кривой флуоресценции соответствовала

описанной в литературе [11–15]. В кинетике индукции флуоресценции в ответ на свет высокой интенсивности обычно наблюдается несколько компонент, т.е. O–J–I–P переходы. Начальный уровень О соответствует интенсивности флуоресценции хлорофилла при “открытых” РЦ ФС2 ( $F_o$ ), когда все  $Q_A$  окислены. Временной интервал достижения этого уровня до 50 мкс. Фаза O–J обусловлена светоиндуцированным восстановлением  $Q_A$ , тогда как следующие фазы отражают главным образом дальнейшее накопление восстановленного  $Q_A^-$ , обусловленное снижением его реокисления в результате восстановления акцепторов  $Q_B$  и пула хинонов.

Важно отметить, что измерения на флуориметре M-PEA2 выполняются на клетках, предварительно отфильтрованных на поверхность мембранный фильтра. Контрольные измерения, выполненные на Aqua-Pen, показали их соответствие с кривыми, полученными на M-PEA2 (рис. 2, рис. 3). Сходство кривых указывает на то, что примененная нами процедура обогащения



**Рис. 2.** Индукционные кривые быстрой флуоресценции (а), замедленной флуоресценции (б) и изменение поглощения при длине волн 820 нм (в), после включения освещения на культуре водорослей *Clamydomonas reinhardtii* после 24 ч инкубации с  $\text{AgNO}_3$  в разных концентрациях. 1 – контроль, 2 –  $2 \times 10^{-6} \text{ M}$ , 3 –  $2 \times 10^{-5} \text{ M}$ . Интенсивность действующего света  $1000 \text{ мкЕ/м}^2 \text{ с}$ . Инкубация с  $\text{AgNO}_3$  течение 24-х часов. Одновременные измерения всех параметров на приборе М-РЕА2.



**Рис. 3.** Индукционные кривые быстрой флуоресценции хлорофилла после включения освещения на культуре водорослей *Clamydomonas reinhardtii* после 24 ч инкубации с  $\text{AgNO}_3$  в разных концентрациях: 1 – контроль, 2 –  $2 \times 10^{-6} \text{ M}$ , 3 –  $2 \times 10^{-5} \text{ M}$ . Интенсивность действующего света  $1000 \text{ мкЕ/м}^2 \text{ с}$ . Инкубация с  $\text{AgNO}_3$  течение 24-х часов. Одновременные измерения параметров на флуориметре Aqua-Pen.

проб на фильтре не влияла на физиологическое состояние клеток.

При действии  $\text{AgNO}_3$  изменялась форма кривой  $O-J-I-P$  и наблюдалось снижение вклада фотохимической фазы  $J-I-P$ , что свидетельствует о нарушении потока электронов от ФС2 в пул хинонов.

Для проведения количественного анализа характеристик первичных процессов фотосинтеза на основе параметров кинетической кривой  $O-J-I-P$  использовали так называемый “JIP-тест” [4, 11]. JIP-тест оперирует следующими параметрами кинетической кривой индукции флуоресценции: а) интенсивностью флуоресценции при 50 мкс ( $F_0$ ), 300 мкс ( $F_{300 \text{ мкс}}$ ), 2 мс ( $F_j$ ), 30 мс ( $F_i$ ), 6 с ( $F_{6c}$ ) и  $F_p$  ( $F_m$  – максимальный выход флуоресценции); б) временем достижения максимальной флуоресценции ( $tF_m$ ) и в) площадью над кинетической кривой до уровня  $F_m$ .

Эти характеристики использовали для расчета следующих параметров, приведенных в таблице: 1 – максимальной эффективности ФС2 ( $F_v/F_m = F_m - F_0/F_m$ ); 2 – относительной амплитуды  $O-J$  фазы ( $V_j = (F_j - F_0)/F_v$ ) – доля  $Q_b$ -невосстанавливавших ФС2, у которых отсутствует контакт между двумя последовательными акцепторами ФС2 –  $Q_A$  и  $Q_b$ ; 3 – относительной амплитуды  $J-I$  фазы ( $V_I = (F_i - F_j)/F_v$ ); 4 – параметра  $M_O$  ( $M_O = 4 \times (F_{300 \text{ мкс}} - F_0)/F_v$ ), который отражает начальный наклон кривой роста индукционной кривой; величина  $M_O$  пропорциональна скорости восста-

новления  $Q_A$  в условиях, когда  $Q_B$  и пул пластохинонов находится преимущественно в окисленном состоянии; 5 –  $S_M = (A_{\text{rea}})/F_v$  – нормированной величины площади между ОЛР кривой и величиной  $F_m$ , отражающей число оборотов ФС2 во время ОЛР фазы роста выхода флуоресценции; 6 – ABS/RC –  $M_O (1/F_v/F_m) (I/V_I)$  – среднего значения поглощенных потоков фотонов в РЦ ФС2 видимый размер активной антенны ФС2); 7 – способности к рН-индуцированному нефотохимическому тушению флуоресценции ( $q_E = (F_m - F_{68})/F_v$ ); 8 – способности пула хинонов тушить флуоресценцию  $q_{PQ} = (F_m - F_I)/F_v$ .

Многие параметры ЛР-теста являются взаимозависимыми, т.е. изменение одних приводит к изменению других. Независимые параметры  $V_I$ , и  $M_O$ , полученные из анализа фазы О–J, обеспечивают информацией о восстановлении  $Q_A$ . Из параметров ( $V_I$ ,  $S_M$ ), можно получить информацию о дальнейшем накоплении восстановленного  $Q_A^-$ , которое происходит в результате восстановления  $Q_B$  и пула хинонов.

Предполагают, что фаза индукции флуоресценции О–J отражает накопление  $Q_A^-$  как в  $Q_B^-$  восстанавливающих ФС2, так и в  $Q_B^-$ -невосстанавливающих ФС2 [11, 13]. Доказательством является тот факт, что диурон, который ингибитирует электронный транспорт между  $Q_A$  и  $Q_B$ , приводит к быстрому росту флуоресценции до максимального уровня за время 2 мс, которое соответствует появлению пика J в контроле. Анализ показал, что при действии AgH<sup>+</sup> увеличивается количество  $Q_B^-$ -невосстанавливающих центров ФС2, неспособных восстанавливать пул хинонов. Об этом же свидетельствует также ряд других параметров (таблица). Соответственно, увеличивалось значение параметра  $M_O$ , который отражает начальный наклон кривой роста индукционной кривой и значение параметра  $S_M$ . Общий поток поглощенных фотонов пигментами антенны ФС2, нормированный на РЦ (ABS/RC) увеличивался в культурах, подверженных действию наночастиц серебра, относительно контрольного значения. В тоже время относительная амплитуда фазы J–I ( $V_I$ ) мало изменилась.

На индукционных кривых быстрой флуоресценции так же хорошо видно подавление спада флуоресценции после достижения максимума, возникающего за счет ΔpH зависимого нефотохимического тушения (параметр  $q_E = (F_m - F_{68})/F_v$ ). Значение этого параметра уменьшалось в присутствии AgH<sup>+</sup>, что указывает на снижение энергизации мембран. В тоже время способность пула хинонов тушить флуоресценцию  $q_{PQ} = (F_m - F_I)/F_v$  у водорослей, обработанных AgH<sup>+</sup>, не изменилась.

Одновременное измерение кинетической кривой ΔA820 на приборе М-РЕА2 показывает, что действие света у темноадаптированного объекта вызывает начальное окисление  $P_{700}$  (с максимумом накопления  $P_{700}^+$  при  $t \approx 30$  мс), которое сменяется восстановлением  $P_{700}$  (рис. 2). При этом сигналы флуоресценции, отражающие восстановление  $Q_A$ , и процессы восстановления  $P_{700}$ , выходят на плато примерно синхронно. Параллельное накопление восстановленных форм  $P_{700}$  и  $Q_A$  отражает восстановление переносчиков на всем участке ЭТЦ между фотосистемами в связи с отсутствием оттока электронов из акцепторной части ФС1 в условиях, когда FNR (ферредоксин-NADP-редуктаза) инактивирована вследствие темновой инкубации [12, 14]. При длительном освещении (~10 с) наблюдали вторую волну окисления  $P_{700}$ , которую объясняют оттоком электронов от ФС1 при активации FNR и ферментов цикла Кальвина.

В присутствии AgH<sup>+</sup> пигмент реакционного центра ФС1 –  $P_{700}$  способен к процессам окисления при включении света (рис. 2). Однако у обработанных AgH<sup>+</sup> водорослей, наблюдалось снижение скорости восстановления от ФС2, вследствие ингибирования электронного транспорта. Такие изменения особенно заметны в интервале времени >10 с и согласуются с увеличением  $Q_B^-$ -невосстанавливающих РЦ ФС2.

Известно, что замедленная флуоресценция (ЗФ) является одним из методов, который позволяет следить за изменением градиента протонов мембранны клетки [4]. Явление ЗФ состоит в том, что после светового возбуждения в фотосинтезирующих клетках наблюдается слабое длительно затухающее красное свечение, испускаемое хлорофиллом [4, 15]. Это свечение возникает уже после прекращения быстрой флуоресценции (БФ) за счет энергии, выделяемой в ходе реакций первичных фотопродуктов в РЦ ФС2. Различие между быстрой и замедленной флуоресценцией связано с природой возбуждения излучающей молекулы хлорофилла. БФ связана с процессами дезактивации возбуждения хлорофилла перед разделением зарядов в РЦ, тогда как ЗФ возникает после первого акта фотосинтеза и энергия появляется в результате обратной рекомбинации разделенных зарядов в реакционном центре ФС2. БФ является чисто фотофизическим процессом и обусловлена высвечиванием части поглощенной антенным хлорофиллом энергии, которая не успела мигрировать на реакционный центр. Замедленная флуоресценция (ЗФ) тесно связана с фотохимическими реакциями, протекающими в РЦ ФС2. Максимум на кривой ЗФ в миллисекундном диапазоне ( $I_1$ ) совпадает с фазой возрастания J–I на индукционной кривой быстрой флуоресценции (рис. 2). Образование  $I_1$  может

быть обусловлено накоплением определенных редокс-состояний, отвечающих за рекомбинацию зарядов и испускание квантов ЗФ (т.е. высвечивающие состояния), а также усилением ЗФ за счет образующегося электрического потенциала на мемbrane. Наличие второго пика ЗФ  $I_2$  в секундном диапазоне связано с фотоиндуцированным образованием трансмембранных градиента протонов, который увеличивает константу скорости излучательных переходов в РЦ ФС2. Эти закономерности рассмотрены во многих работах (см. [4]).

В присутствии Ag<sup>NH</sup> (при достаточно низких концентрациях) наблюдалось снижение пиков на кривой замедленной флуоресценции в областях 20–50 мс и 1 с, что свидетельствует об уменьшении электрической (потенциал) и химической составляющих электрохимического градиента протонов. С увеличением концентрации Ag<sup>NH</sup> амплитуда пиков ЗФ уменьшалась.

Таким образом, одновременная регистрация индукции быстрой и замедленной флуоресценции, а также изменений  $P_{700}$  позволила следить за отдельными реакциями накопления восстановленных переносчиков между фотосистемами, включением ФС1 и кинетикой электрохимического градиента протонов на тилакоидной мемbrane в присутствии Ag<sup>NH</sup>.

### ОБСУЖДЕНИЕ

Микроводоросли, использующие солнечную энергию для синтеза органического вещества, являются основным источником энергии в водных системах и пищей для других организмов. Поэтому фитопланктон может быть первым этапом/барьером накопления наночастиц в пищевых цепях водных экосистем. Серебряные наночастицы (Ag<sup>NH</sup>) благодаря широкому спектру использования с высокой долей вероятности могут попадать в водные экосистемы [3, 4].

Результаты нашей работы подтвердили токсичность наночастиц серебра в низких концентрациях ( $10^{-6}$ – $10^{-5}$  М) на культуры микроводорослей. Одновременные исследования, проведенные на М-РЕА2, позволили выявить особенности влияния наночастицы (Ag<sup>NH</sup>) на реакции ФС2 и отсутствие прямого действия на реакции окисления пигмента ФС1- $P_{700}$ . Анализ индукционных кривых флуоресценции показал ингибирование электронного транспорта в ФС2 и увеличение доли  $Q_b$ -невосстанавливющихся центров. Кроме того, по анализу индукционных кривых замедленной флуоресценции было выявлено влияние наночастиц на процессы энергизации фотосинтетических мембран клеток.

Несмотря на то, что токсичность Ag<sup>NH</sup> на бактериях исследовалась в ряде работ [16–18], меха-

низм этого воздействия пока неясен. Предполагается, что токсический эффект Ag<sup>NH</sup> может быть связан с повреждением клеточной мембраны, окислительным стрессом или взаимодействием Ag<sup>+</sup> с белками и ферментами. Кроме того, вопрос о том, обусловлен ли токсический эффект на микроорганизмы спецификой свойств наночастиц в целом, или это результат воздействия ионов серебра, остается неясным.

В наших экспериментах не наблюдалось значительного различия между серебром в виде наночастиц и солью азотнокислого серебра. Такой эффект согласуется с многочисленными литературными данными, поскольку высвобождение ионов металлов из наночастиц и образование их комплексов могут быть основным фактором экотоксичности наночастиц. Действительно, было показано на культурах клеток *in vitro*, что растворимость окислов наночастиц (в том числе TiO<sub>2</sub> и ZnO) значительно влияла на их цитотоксичность [19]. Для водоросли *Pseudokirchneriella subcapitata* было отмечено, что токсичность наночастиц и крупных частиц ZnO можно связать исключительно с растворенным Zn. Результаты, полученные в работе [20] также показали, что токсичность CuO и ZnO для бактерий и ракообразных *Thamnocephalus platyurus* в основном была связана с биодоступностью ионов Cu и Zn, хотя растворимость CuO и ZnO в воде низка [21]. Аналогичные данные для наночастиц ZnO и CuO в отношении водорослей *Pseudokirchneriella subcapitata* и *Selenastrum capricornutum* приведены в работе [22]. В работе [8] этот вопрос попытались решить с помощью добавки цистеина, сильного лиганда Ag<sup>+</sup>. Обнаружено, что цистеин устраняет ингибиторный эффект на фотосинтез водорослей как Ag<sup>NH</sup>, так и Ag<sup>+</sup>. Это позволило авторам сделать вывод, что наличие Ag<sup>+</sup> в суспензии Ag<sup>NH</sup> не может полностью объяснять их токсичность. Данные результаты указывают на взаимодействие этих частиц с водорослями, что усиливает токсичность Ag<sup>NH</sup> через Ag<sup>+</sup>. Сделано предположение, что токсичность частиц обусловлена испусканием ионов серебра, которые образуются в присутствии водорослей.

Проведенные нами исследования показали, что одним из первых параметров реакций водоросли на появление наночастиц в среде являются изменения в индукционных кривых быстрой и замедленной флуоресценции. Эти параметры могут быть весьма эффективно использованы для диагностики влияния наноматериалов на водоросли, а также для оперативного диагностирования появления наноматериалов в водной среде.

Авторы благодарят Осипова В.А. за помощь при проведении измерений.

Статья поддержана грантом РФФИ № 13-04-01853 и ФЦПГК № 14.512.11.0097.

## СПИСОК ЛИТЕРАТУРЫ

- Lee H.Y., Park H.K., Lee Y.M., Kim K., Park S.B.** A practical procedure for producing silver nanocoated fabric and its antibacterial evaluation for biomedical applications // Chem. Commun. 2007. V. 28. P. 2959–2961.
- Choi O., Deng K.K., Kim N.J., Ross L., Jr., Surampalli R.Y., Hu Z.** The inhibitory effects of silver nanoparticles, silver ions, and silver chloride colloids on microbial growth // Water Res. 2008. V. 42. P. 3066–3074.
- Wiesner M.R., Lowry G.V., Alvarez P., Dionysiou D., Biswas P.** Assessing the risks of manufactured nanomaterials // Environ. Sci. Technol. 2006. V. 40. P. 4336–4345.
- Маторин Д.Н., Рубин А.Б.** Флуоресценции хлорофилла высших растений и водорослей. М.–Ижевск: ИКИ-РХД, 2012. 256 с.
- Hiriart-Baer V.P., Fortin C., Lee D.Y., Campbell P.G.** Toxicity of silver to two freshwater algae *Chlamydomonas reinhardtii* and *Pseudokirchneriella subcapitata* grown under continuous culture conditions: Influence of thiosulphate // Aquat. Toxicol. 2006. V. 78. P. 136–148.
- Литириева А.Г., Бойчук Т.В., Филенко О.Ф.** Гетерогенность популяции *Scenedesmus quadricauda* при разных режимах интоксикации серебром // Экологические приборы и системы. 2007. № 3. С. 42–45.
- Oukarroum A., Perreault F., Bras S., Popovic R.** Inhibitory effects of silver nanoparticles in two green algae, *Chlorella vulgaris* and *Dunaliella tertiolecta* // Ecotoxicol. Environ. Safety 2012. V. 78. P. 80–85.
- Varro E., Piccapietra F., Wagner B., Kogi R., Odzak N., L., Behra R.** Toxicity of silver nanoparticles to *Chlamydomonas reinhardtii* // Environ. Sci. Technol. 2008. V. 42. P. 8959–8964.
- Маторин Д.Н., Каратеева А.В., Осипов В.А., Булычев Е.П., Сейфуллина Н.Х.** Влияние углеродных нанотрубок на параметры флуоресценции хлорофилла зеленой водоросли *Chlamydomonas reinhardtii* // Российские нанотехнологии. 2010. Т. 5. № 5–6. С. 71–76.
- Маторин Д.Н., Каратеева А.В., Осипов В.А., Lukashev E.P., Seifullina N.Kh., Rubin A.B.** Influence of carbon nanotubes on chlorophyll fluorescence parameters of green algae *Chlamydomonas reinhardtii* // Nanotechnologies in Russia. 2010. № 5–6. P. 320–327.
- Маторин Д.Н., Осипов В.А., Сейфуллина Н.Х., Ведиктов Л.С., Рубин А.Б.** Усиление токсического действия метилрутин на микроводоросли *Chlorella vulgaris* под действием светового и холодового стресса // Микробиология. 2009. Т. 78. № 3. С. 362–368.
- Маторин Д.Н., Осипов В.А., Сейфуллина Н.Х., Ведиктов Л.С., Рубин А.Б.** Increasing toxic effect of methylmercury on *Chlorella vulgaris* under high light and cold stress conditions // Microbiology (Moscow). 2009. V. 78. № 3. P. 321–327.
- Strasser R.J., Tsimilli-Michael M., Qiang Sheng, Goltsev V.** Simultaneous *in vivo* recording of prompt and delayed fluorescence and 820-nm reflection changes during drying and after rehydration of the resurrection plant *Haberlea rhodopensis* // Biochim. Biophys. Acta. 2010. V. 1797. № 6–7. P. 1313–1326.
- Bulychev A.A., Osipov V.A., Matorin D.N., Vredenberg W.J.** Effects of far-red light on fluorescence induction in infiltrated pea leaves under diminished  $\Delta\text{pH}$  and  $\Delta\phi$  components of the proton motive force // J. Bioenerg. Biomembr. 2013. V. 45. № 1. P. 37–45.
- Antal T.K., Osipov V.A., Matorin D.N., Rubin A.B.** Membrane potential is involved in regulation of photosynthetic reactions in the marine diatom *Thalassiosira weissflogii* // J. Photochem. Photobiol. B: Biology. 2011. V. 102. P. 169–173.
- Булычев А.А.** Индукционные изменения состояния двух фотосистем в листьях растений при модификациях мембранных транспорта ионов // Биологические мембранны. 2011. Т. 28. № 5. С. 365–373. *Bulychev A.A.* Induction changes in photosystem I and II in plant leaves upon modulation of membrane ion transport // Biochemistry (Moscow). Supplement Series A: Membrane and Cell Biology. 2011. V. 5. № 4. P. 335–342.
- Goltsev V., Zaharieva I., Chernev P., Strasser R.J.** Delayed fluorescence in photosynthesis // Photosynth. Res. 2009. V. 101. P. 217–232.
- Kim J.S., Kuk E., Yu K.N., Kim J.H., Park S.J., Lee H.J., Kim S.H., Park Y.K., Park Y.H., Hwang C.Y., Kim Y.K., Lee Y.S., Jeong D.H., Cho M.H.** Antimicrobial effects of silver nanoparticles // Nanomed. Nanotechnol. Biol. Med. 2007. V. 3. P. 95–101.
- Pal S., Tak Y.K., Song J.M.** Does the antibacterial activity of silver nanoparticles depend on the shape of the nanoparticle? A study of the gram-negative bacterium *Escherichia coli* // Appl. Environ. Microbiol. 2007. V. 73. P. 1712–1720.
- Yamanaka M., Hara K., Kudo J.** Bactericidal actions of a silver ion solution on *Escherichia coli*, studied by energy-filtering transmission electron microscopy and proteomic analysis // Appl. Environ. Microbiol. 2005. V. 71. P. 7589–7593.
- Brunner T.J., Wick P., Manser P., Spohn P., Grass R.N., Limbach L.K., A. Bruinink A., Stark W.J.** *In vitro* cytotoxicity of oxide nanoparticles: comparison to asbestos, silica, and the effect of particle solubility // Environ. Sci. Technol. 2006. V. 40. P. 4374–4381.
- Franklin N., Rogers N., Apte S., Batley G., Gadd G., Casey P.** Comparative toxicity of nanoparticulate  $\text{ZnO}$ , bulk  $\text{ZnO}$ , and  $\text{ZnCl}_2$  to a freshwater microalga (*Pseudokirchneriella subcapitata*): the importance of particle solubility // Environ. Sci. Technol. 2007. V. 41. P. 8484–8490.
- Heinlaan M., Ivask A., Blinova I., Dubourguier H.C., Kahru A.** Toxicity of nanosized and bulk  $\text{ZnO}$ ,  $\text{CuO}$  and  $\text{TiO}_2$  to bacteria *Vibrio fischeri* and crustaceans *Daphnia magna* and *Thamnocephalus platyurus* // Chemosphere. 2008. V. 71. P. 1308–1316.
- Aruoja V., Dubourguier H.C., Kasemets K., Kahru A.** Toxicity of nanoparticles of  $\text{CuO}$ ,  $\text{ZnO}$  and  $\text{TiO}_2$  to microalgae *Pseudokirchneriella subcapitata* // Sci. Total Environ. 2009. V. 407. № 4. P. 1461–1468.